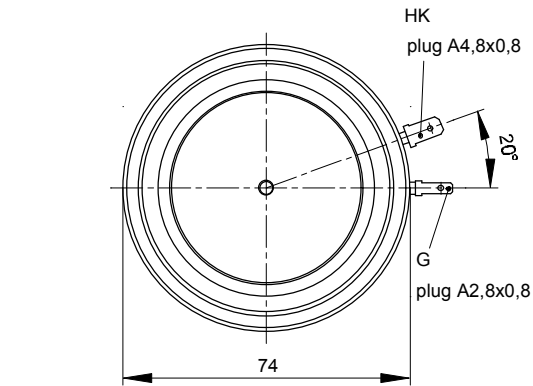
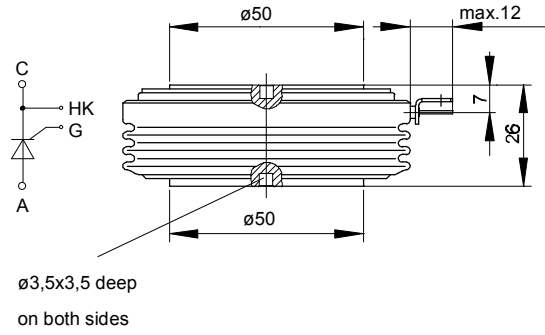


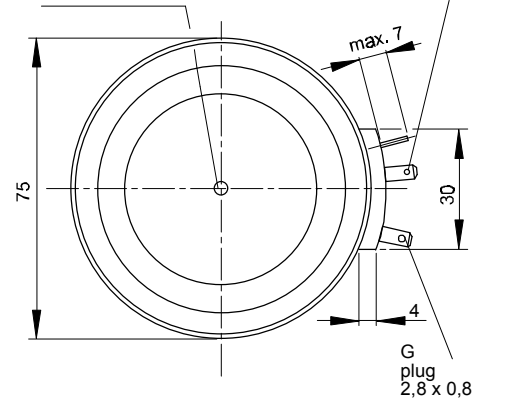
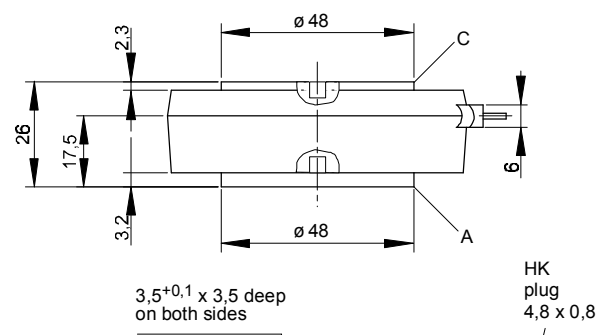
European Power-
Semiconductor and
Electronics Company

Marketing Information

T 1050 N



T 1059 N



T 1050 N T 1059 N

Elektrische Eigenschaften		Electrical properties				
<i>Höchstzulässige Werte</i>		<i>Maximum rated values</i>				
Periodische Vorwärts- und Rückwärts-Spitzenperrspannung		repetitive peak forward off-state and reverse voltages	$t_{vj} = -40^\circ\text{C}...t_{vj \max}$	V_{DRM}, V_{RRM}	2000 2200 2400 2600 2800*	V
Vorwärts-Stoßspitzenperrspannung		non-repetitive peak forward off-state voltage	$t_{vj} = -40^\circ\text{C}...t_{vj \max}$	$V_{DSM} = V_{DRM}$	2000 2200 2400 2600 2800*	V
Rückwärts-Stoßspitzenperrspannung		non-repetitive peak reverse voltage	$t_{vj} = +25^\circ\text{C}...t_{vj \max}$	$V_{RSM} = V_{RRM}$	2100 2300 2500 2700 2900	V
Durchlaßstrom-Grenzeffektivwert		RMS on-state current		I_{TRMSM}	2200	A
Dauergrenzstrom		average on-state current	$t_c = 85^\circ\text{C}$	I_{TAVM}	1050	A
			$t_c = 64^\circ\text{C}$		1400	A
Stoßstrom-Grenzwert		surge current	$t_{vj} = 25^\circ\text{C}, t_p = 10 \text{ ms}$ $t_{vj} = t_{vj \max}, t_p = 10 \text{ ms}$	I_{TSM}	21000 19000	A
Grenzlastintegral		$I^2 t$ -value	$t_{vj} = 25^\circ\text{C}, t_p = 10 \text{ ms}$ $t_{vj} = t_{vj \max}, t_p = 10 \text{ ms}$	$I^2 t$	$2,205 \cdot 10^6$ $1,805 \cdot 10^6$	A^2s A^2s
Kritische Stromsteilheit		critical rate of rise of on-state current	$v_D \leq 67\%, V_{DRM}, f = 50 \text{ Hz}$ $i_{GM} = 1 \text{ A}, di_G/dt = 1 \text{ A}/\mu\text{s}$	$(di_T/dt)_{cr}$	150	$\text{A}/\mu\text{s}$
Kritische Spannungssteilheit		critical rate of rise of off-state voltage	$t_{vj} = t_{vj \max}, v_D = 67\% V_{DRM}$ 5.Kennbuchstabe/5th letter C 5.Kennbuchstabe/5th letter F	$(dv/dt)_{cr}$ $(dv/dt)_{cr}$	500 1000	$\text{V}/\mu\text{s}$ $\text{V}/\mu\text{s}$
<i>Charakteristische Werte</i>		<i>Characteristic values</i>				
Durchlaßspannung		on-state voltage	$t_{vj} = t_{vj \max}, i_T = 4200 \text{ A}$	v_T	max. 2,48	V
Schleusenspannung		threshold voltage	$t_{vj} = t_{vj \max}$	$V_{T(TO)}$	1,05	V
Ersatzwiderstand		slope resistance	$t_{vj} = t_{vj \max}$	r_T	0,3	$\text{m}\Omega$
Zündstrom		gate trigger current	$t_{vj} = 25^\circ\text{C}, v_D = 6 \text{ V}$	I_{GT}	max. 250	mA
Zündspannung		gate trigger voltage	$t_{vj} = 25^\circ\text{C}, v_D = 6 \text{ V}$	V_{GT}	max. 2	V
Nicht zündender Steuerstrom		gate non-trigger current	$t_{vj} = t_{vj \max}, v_D = 6 \text{ V}$	I_{GD}	max. 100	mA
Nicht zündende Steuerspannung		gate non-trigger voltage	$t_{vj} = t_{vj \max}, v_D = 0,5 V_{DRM}$	V_{GD}	max. 0,25	V
Haltestrom		holding current	$t_{vj} = 25^\circ\text{C}, v_D = 6 \text{ V}, R_A = 5 \Omega$	I_H	max. 500	mA
Einraststrom		latching current	$t_{vj} = 25^\circ\text{C}, v_D = 6 \text{ V}, R_{GK} > 10 \Omega$ $i_{GM} = 1 \text{ A}, di_G/dt = 1 \text{ A}/\mu\text{s}, t_g = 20 \mu\text{s}$	I_L	max. 2,5	A
Vorwärts- und Rückwärts-Sperrstrom		forward off-state and reverse currents	$t_{vj} = t_{vj \max}, v_D = V_{DRM}, v_R = V_{RRM}$	i_D, i_R	max. 200	mA
Zündverzug		gate controlled delay time	$t_{vj} = 25^\circ\text{C}, i_{GM} = 1 \text{ A}, di_G/dt = 1 \text{ A}/\mu\text{s}$	t_{gd}	max. 4,5	μs
Freiwerdezeit		circuit commutated turn-off time	siehe Techn. Erl./see Techn. Inf.	t_q	typ. 300	μs
Thermische Eigenschaften		Thermal properties				
Innerer Wärmewiderstand für beidseitige Kühlung		thermal resistance, junction to case for two-sided cooling	$\Theta = 180^\circ \text{ el, sin}$ DC	R_{thJC}	max. 0,021	$^\circ\text{C}/\text{W}$
für anodenseitige Kühlung		for anode-sided cooling	$\Theta = 180^\circ \text{ el, sin}$ DC	$R_{thJC(A)}$	max. 0,036	$^\circ\text{C}/\text{W}$
für kathodenseitige Kühlung		for cathode-sided cooling	$\Theta = 180^\circ \text{ el, sin}$ DC	$R_{thJC(K)}$	max. 0,035	$^\circ\text{C}/\text{W}$
Übergangs-Wärmewiderstand		thermal resistance, case to heatsink	beidseitig/two-sided einseitig/one-sided	R_{thCK}	max. 0,004	$^\circ\text{C}/\text{W}$
Höchstzul. Sperrschiichttemperatur		max. junction temperature	$t_{vj \max}$		125	$^\circ\text{C}$
Betriebstemperatur		operating temperature	$t_{c op}$		-40...+125	$^\circ\text{C}$
Lagertemperatur		storage temperature	t_{stg}		-40...+150	$^\circ\text{C}$
Mechanische Eigenschaften		Mechanical properties				
Si-Elemente mit Druckkontakt		Si-pellet with pressure contact				
Anpreßkraft		clamping force		F	20...45	kN
Gewicht		weight	$T 1050 \text{ N/T } 1059 \text{ N}$	G	typ. 600/540	g
Kriechstrecke		creepage distance	$T 1050 \text{ N/T } 1059 \text{ N}$		30/32	mm
Feuchteklaasse		humidity classification	DIN 40040			C
Schwingfestigkeit		vibration resistance	$f = 50 \text{ Hz}$		50	m/s^2
Maßbild, anliegend		outline, attached	DIN 41814-155B4			

* Für größere Stückzahlen Liefertermin erfragen / Delivery for larger quantities on request

T 1050 N, T 1059 N

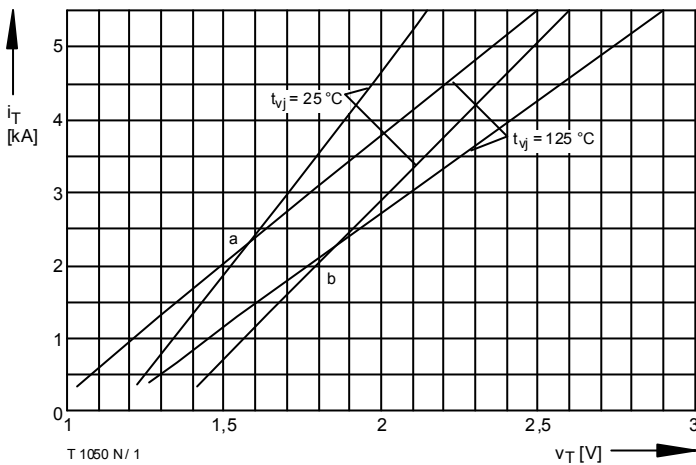


Bild / Fig. 1

Durchlaßkennlinie / On-state characteristic $i_T = f(v_T)$, $t_{vj} = t_{vj \max}$
 a - Typische Kennlinien / typical characteristics
 b - Grenzkennlinien / limiting characteristics

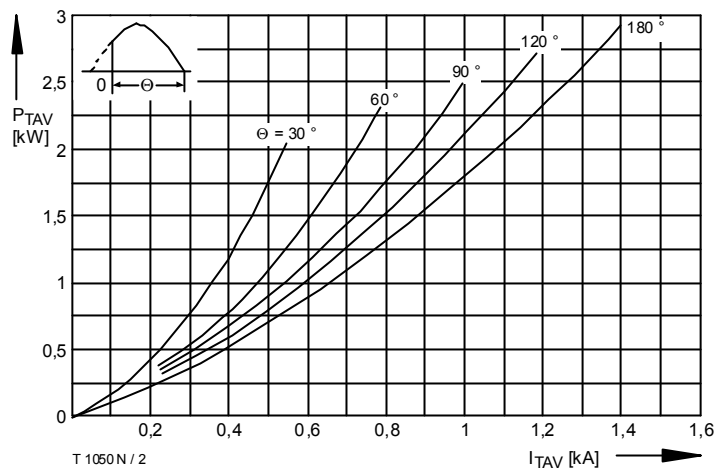


Bild / Fig. 2

Durchlaßverlustleistung / On-state power loss $P_{TAV} = f(I_{TAV})$
 Parameter: Stromflußwinkel / Current conduction angle θ

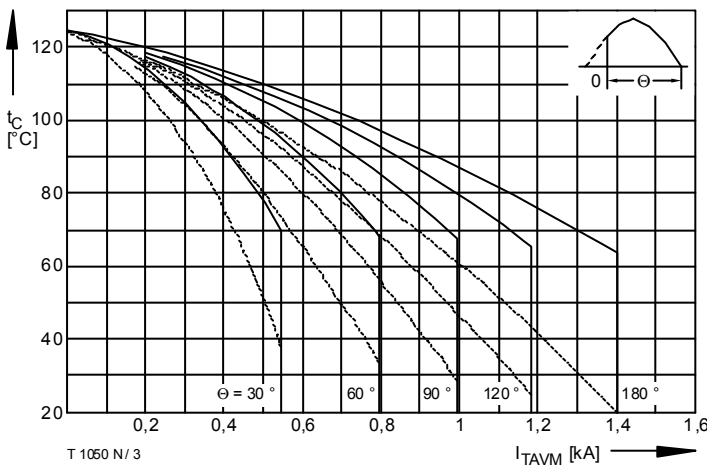


Bild / Fig. 3

Höchstzulässige Gehäusetemperatur / Max. allowable case temperature $t_A = f(I_{TAVM})$
 ----- Anodenseitige Kühlung / Anode-sided cooling
 ——— Beidseitige Kühlung / Two-sided cooling
 Parameter: Stromflußwinkel / Current conduction angle θ

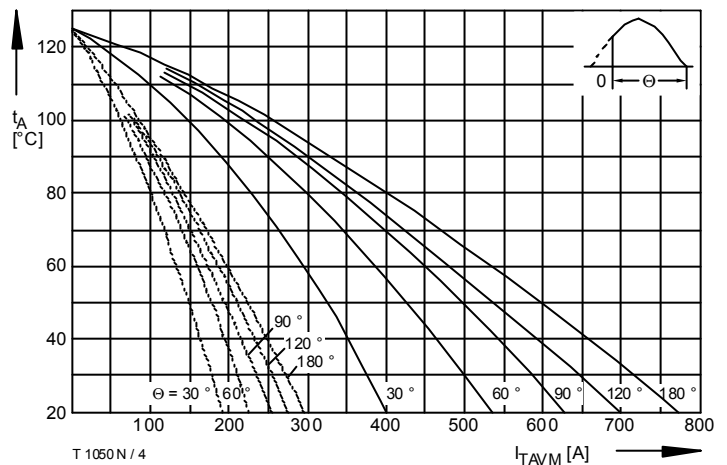


Bild / Fig. 4

Höchstzulässige Kühlmitteltemperatur / Max. allowable cooling medium temperature $t_A = f(I_{TAVM})$
 Kühlkörper / Heatsink: K0.05F
 ----- Luftseitige Kühlung / Natural air-cooling, $t_A = 45^\circ\text{C}$
 ——— Verstärkte Luftkühlung / Forced air-cooling, $t_A = 35^\circ\text{C}$, $V_L = 120 \text{ l/s}$
 Parameter: Stromflußwinkel / Current conduction angle θ

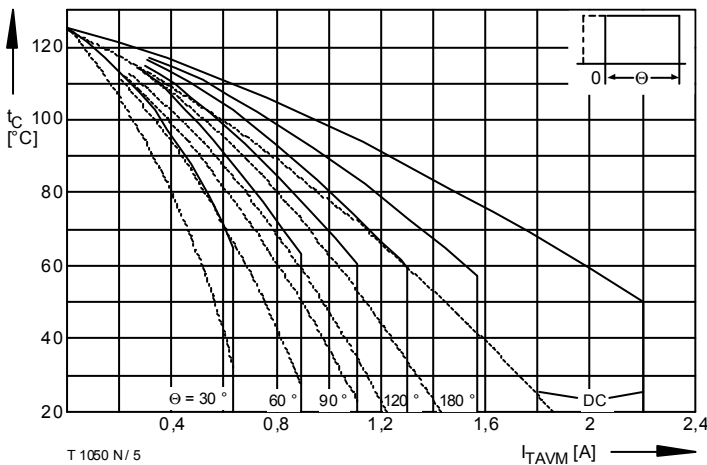


Bild / Fig. 5

Durchlaßverlustleistung / On-state power loss $P_{TAV} = f(I_{TAV})$
 Parameter: Stromflußwinkel / Current conduction angle θ

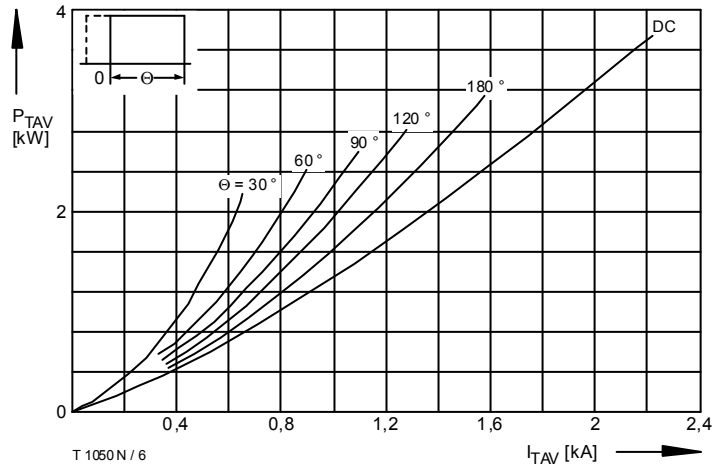


Bild / Fig. 6

Höchstzulässige Gehäsetemperatur / Max. allowable case temperature $t_A = f(I_{TAVM})$
 ----- Anodenseitige Kühlung / Anode-sided cooling
 ——— Beidseitige Kühlung / Two-sided cooling
 Parameter: Stromflußwinkel / Current conduction angle θ

T 1050 N, T 1059 N

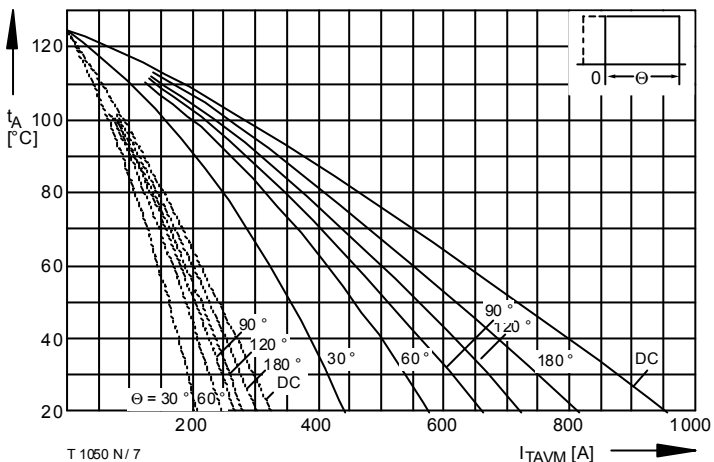


Bild / Fig. 7

Höchstzulässige Kühlmittelempfänger / Max. allowable cooling medium temperature $t_A = f(I_{TAVM})$
 Kühlkörper / Heatsink: K0.05F
 ----- Luftselbstkühlung / Natural air-cooling, $t_A = 45^\circ\text{C}$
 _____ Verstärkte Luftkühlung / Forced air-cooling, $t_A = 35^\circ\text{C}$, $V_L = 120 \text{ l/s}$
 Parameter: Stromflußwinkel / Current conduction angle θ

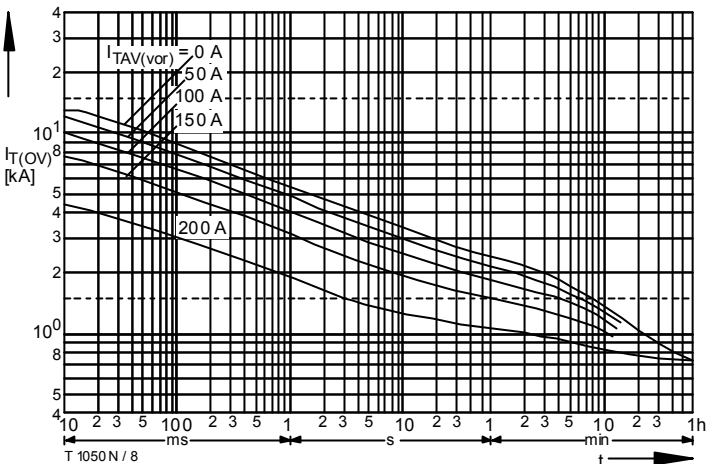


Bild / Fig. 8

Überstrom / Overload on-state current $I_{T(OV)} = f(t)$
 Luftselbstkühlung / Natural air-cooling, $t_A = 45^\circ\text{C}$
 Kühlkörper / Heatsink: K0.05F
 Parameter: Vorlaststrom / Pre-load current $I_{TAV(vor)}$

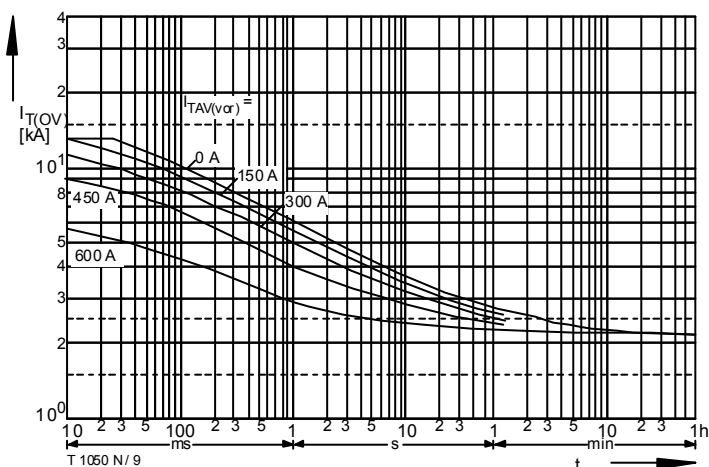


Bild / Fig. 9

Überstrom / Overload on-state current $I_{T(OV)} = f(t)$
 Verstärkte Luftkühlung / Forced air-cooling, $t_A = 35^\circ\text{C}$
 Kühlkörper / Heatsink: K0.05F, $V_L = 120 \text{ l/s}$
 Parameter: Vorlaststrom / Pre-load current $I_{TAV(vor)}$

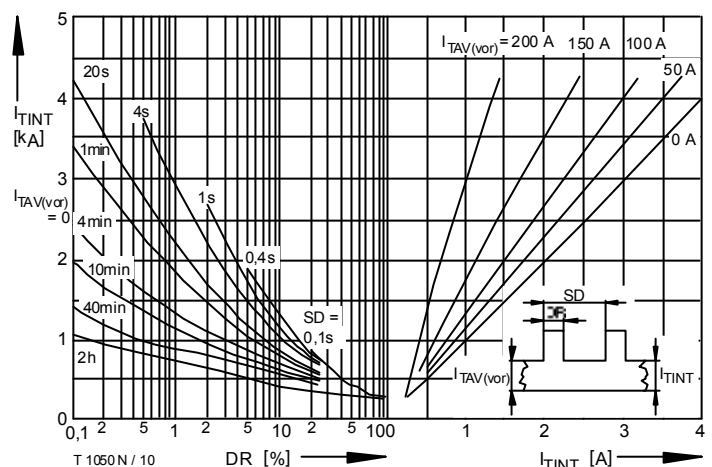


Bild / Fig. 10

Höchstzulässiger Durchlaßstrom bei Aussetzbetrieb / Max. allowable on-state current at intermittent operation $I_{TINT} = f(ED)$
 Luftselbstkühlung / Natural air-cooling, $t_A = 45^\circ\text{C}$
 Kühlkörper / Heatsink: K0.05F
 Parameter: Spieldauer / Cycle duration SD
 Vorlaststrom / Pre-load current $I_{TAV(vor)}$

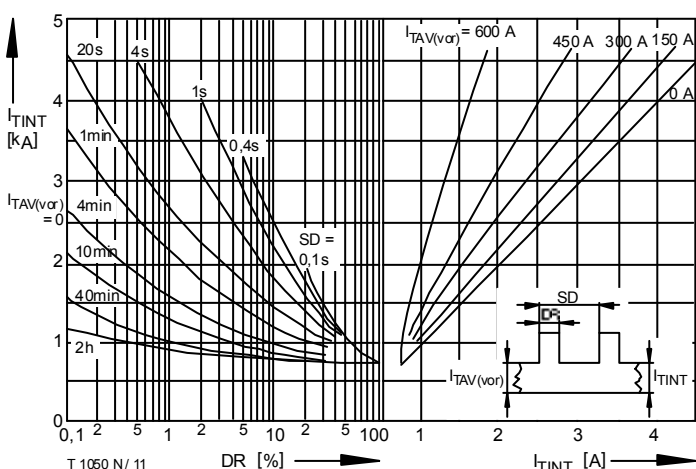


Bild / Fig. 11

Höchstzulässiger Durchlaßstrom bei Aussetzbetrieb / Max. allowable on-state current at intermittent operation $I_{TINT} = f(ED)$
 Verstärkte Luftkühlung / Forced air-cooling, $t_A = 35^\circ\text{C}$
 Kühlkörper / Heatsink: K0.05F, $V_L = 120 \text{ l/s}$
 Parameter: Spieldauer / Cycle duration SD
 Vorlaststrom / Pre-load current $I_{TAV(vor)}$

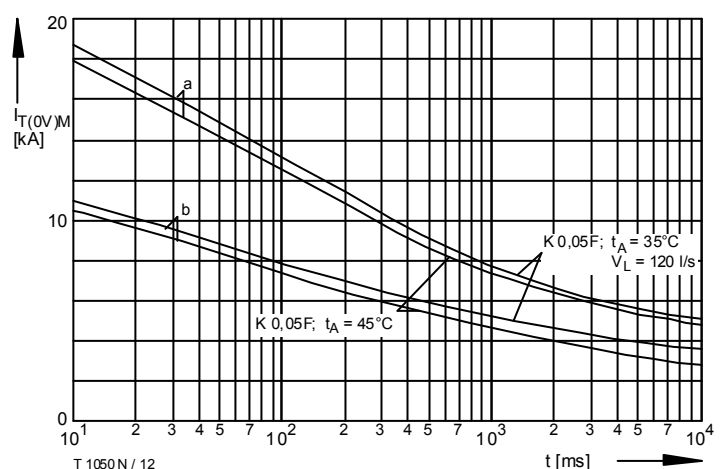


Bild / Fig. 12

Grenzstrom / Max. overload on-state current $I_{T(OV)M} = f(t)$, $VRM = 0.8 V_{RRM}$
 Luftselbstkühlung / Natural air-cooling, $t_A = 45^\circ\text{C}$
 Verstärkte Luftkühlung / Forced air-cooling, $t_A = 35^\circ\text{C}$, $V_L = 120 \text{ l/s}$
 Kühlkörper / Heatsink: K0.05F
 Belastung aus / Surge current occurs:
 a - Leerlauf / No-load conditions
 b - Betrieb mit Dauergrenzstrom / During operation at max. average on-state current I_{TAVM}

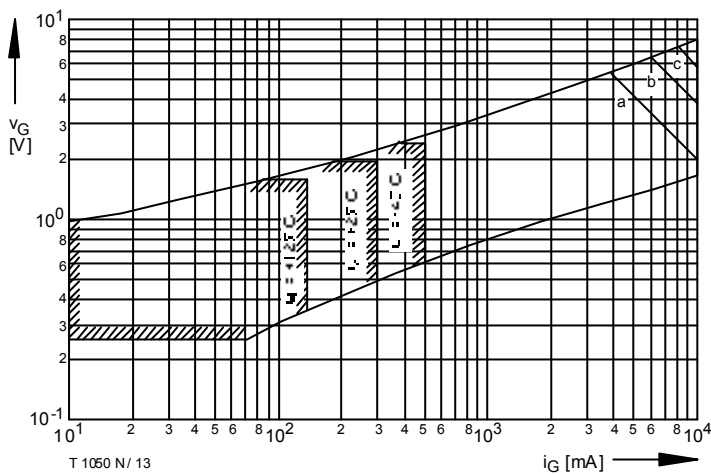


Bild / Fig. 13
Steuercharakteristik mit Zündbereichen / Gate characteristic with triggering areas $v_G = f(i_G)$, $V_D = 6 \text{ V}$
Parameter:

a	b	c
---	---	---

Steuerimpulsdauer / trigger puls duration t_g [ms] 10 1 0,5
Höchstzulässige Spitzensteuerverlustleistung /
Max. rated peak gate power dissipation [W] 20 40 60

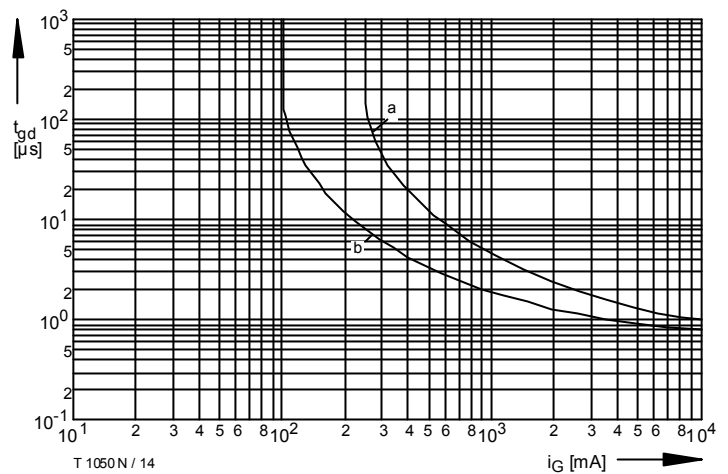


Bild / Fig. 14
Zündverzug / Gate controlled delay time $t_{gd} = f(i_G)$
 $t_{vj} = 25^\circ\text{C}$, $\frac{di_G}{dt} = i_{GM}/1\mu\text{s}$
a - Maximaler Verlauf / Limiting characteristic
b - Typischer Verlauf / Typical characteristic

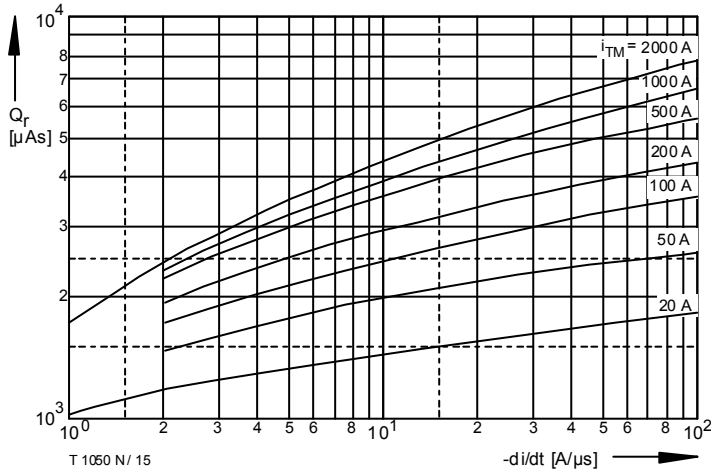


Bild / Fig. 15
Sperrverzögerungsladung / Recovered charge $Q_r = f(\frac{di}{dt})$
 $t_{vj} = t_{vj \text{ max}}$, $V_R = 0,5 \text{ V}_{RRM}$, $V_{RM} = 0,8 \text{ V}_{RRM}$
Parameter: Durchlaßstrom / On-state current i_{TM}

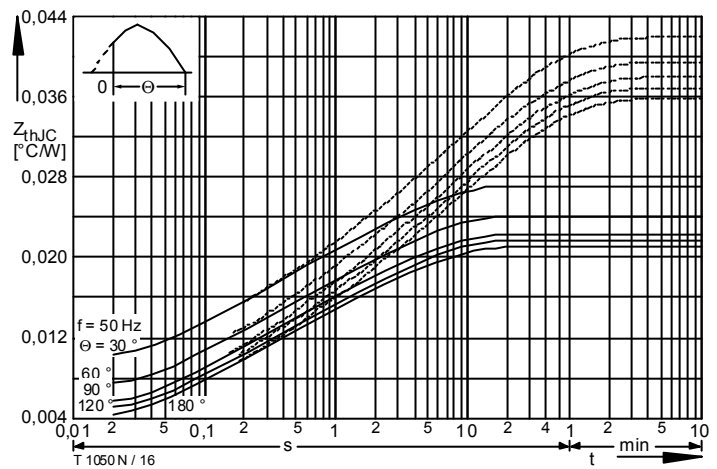


Bild / Fig. 16
Transient innerer Wärmeleiterstand / Transient thermal impedance $Z_{thJC} = f(t)$
---- Anodenseitige Kühlung / Anode-sided cooling
— Beidseitige Kühlung / Two-sided cooling
Parameter: Stromflußwinkel / current conduction angle θ

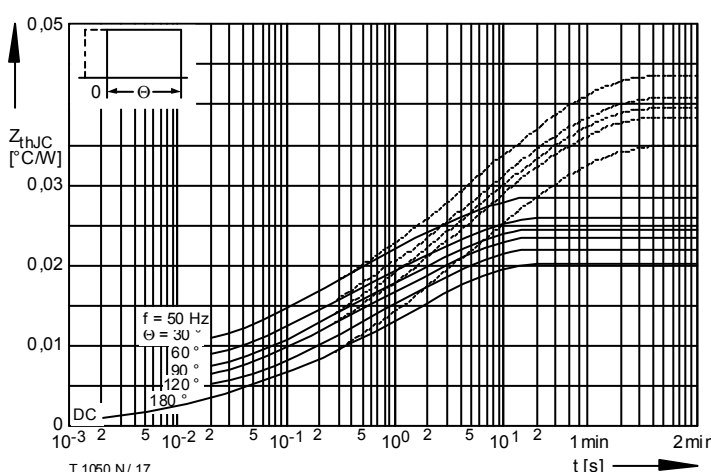


Bild / Fig. 17
Transient innerer Wärmeleiterstand / Transient thermal impedance $Z_{thJC} = f(t)$
---- Anodenseitige Kühlung / Anode-sided cooling
— Beidseitige Kühlung / Two-sided cooling
Parameter: Stromflußwinkel / current conduction angle θ

Analytische Elemente des transienten Wärmeleiterstandes Z_{thJC} pro Zweig für DC
Analytical elements of transient thermal impedance Z_{thJC} per arm for DC

Beidseitig / Two-sided

Pos. n	1	2	3	4	5	6
$R_{thn} [\text{°C/W}]$	0,000945	0,002035	0,00435	0,0084	0,00427	
$\tau_n [\text{s}]$	0,00173	0,014	0,114	0,94	5,1	

Anodenseitig / Anode-sided

Pos. n	1	2	3	4	5	6
$R_{thn} [\text{°C/W}]$	0,00194	0,0037	0,00736	0,0109	0,0111	
$\tau_n [\text{s}]$	0,0032	0,058	0,55	4,2	36,3	

Kathoden seitig / Cathode-sided

Pos. n	1	2	3	4	5	6
$R_{thn} [\text{°C/W}]$	0,00124	0,0032	0,00576	0,01	0,012	0,0148
$\tau_n [\text{s}]$	0,0021	0,028	0,0336	2	10	52,5

Analytische Funktion / Analytical function:

$$Z_{thJC} = \sum_{n=1}^{n_{\max}} R_{thn} \left(1 - e^{-\frac{t}{\tau_n}}\right)$$